

УДК 534.2 : 534.29

© 1991

УПРУГИЕ СВОЙСТВА СЛОИСТЫХ КРИСТАЛЛОВ $TlInS_2$ И $TlGaSe_2$

P. A. Сулейманов, M. Ю. Сеидов, Ф. М. Салаев

Приводятся результаты исследований температурных зависимостей эффективных модулей Юнга слоистых кристаллов $TlInS_2$ и $TlGaSe_2$ в интервале температур 20–300 К. Обсуждаются возможные причины наблюдаемых на опыте отличий в температурном поведении упругих свойств исследуемых кристаллов. Показано, что учет температурной зависимости упругой постоянной C_{13} в $TlGaSe_2$, установленный из анализа температурного поведения $E_{\text{эфф}}$ и соответствующих модулей упругости, позволяет объяснить аномалии в поведении коэффициентов линейного расширения и скоростей распространения поперечных УЗ волн в $TlGaSe_2$.

Слоистые кристаллы $TlInS_2$ и $TlGaSe_2$, с пространственной группой симметрии C_{2h}^6 в нормальной фазе претерпевают с понижением температуры фазовый переход (ФП) в сегнетоэлектрическую соразмерную фазу через промежуточную несоразмерную. ФП сопровождается учетверением параметра элементарной ячейки вдоль оси c и возникновением спонтанной поляризации в плоскости слоев (близкие по величине параметры a и b лежат в плоскости слоев, ось c составляет небольшой угол с направлением нормали к слоям) [1–5].

Имеющиеся экспериментальные данные дали основание сделать вывод о практически идентичном характере протекания ФП в указанных кристаллах. Тем не менее в ряде случаев при исследовании конкретных физических параметров были обнаружены и различия в их поведении с температурой, природа которых не обсуждалась.

Отметим два из обнаруженных отличия. При исследовании теплового расширения $TlInS_2$ и $TlGaSe_2$ было установлено [6, 7], что кривая $\alpha_{||}(T)$, описывающая изменение размеров с температурой в плоскости слоев кристаллов, в $TlGaSe_2$ характеризуется резким отрицательным пиком вблизи ФП (рис. 1, a). Каких-либо особенностей в поведении $\alpha_{||}(T)$ в $TlInS_2$ обнаружено не было (рис. 2, a).

В [8] были проведены исследования температурных зависимостей скоростей распространения продольных и поперечных ультразвуковых (УЗ) волн в двух направлениях: параллельном и перпендикулярном слоям кристаллов $TlInS_2$ и $TlGaSe_2$. Из пяти исследованных различных типов волн поведение с температурой поперечной волны, распространяющейся в плоскости слоев и поляризованной в той же плоскости v_T^\parallel , оказалось качественно различным в $TlInS_2$ и $TlGaSe_2$ (рис. 1, b ; 2, b).

В настоящей работе приводятся результаты исследований температурных зависимостей эффективных модулей Юнга $E_{\text{эфф}}$ в плоскости слоев $TlInS_2$ и $TlGaSe_2$, которые также оказываются существенно различными в этих кристаллах. Анализ возможных причин различного поведения $E_{\text{эфф}}$ в $TlInS_2$ и $TlGaSe_2$ позволил установить и причины описанных выше отличий в поведении коэффициентов линейного расширения и скоростей распространения поперечных УЗ волн.

2. Экспериментальные результаты и их обсуждение

Эффективные модули Юнга изучались путем измерения резонансных частот изгибных колебаний тонких пластин слоистых кристаллов, закрепленных на одном конце. Колебания возбуждались электростатически по методике, описанной в [9], и характеризовались частотами, лежащими в килогерцевом диапазоне. Образцы имели прямоугольную форму; малые колебания происходили в направлении, перпендикулярном слоям. В указанной геометрии измерений частоты изгибных колебаний определяются

эффективным модулем Юнга $E_{\text{эфф}} = E/(1-\sigma^2)$, где E , σ — модуль Юнга и коэффициент Пуассона соответственно описывают деформацию в плоскости слоев.

Как известно [10], значения абсолютных величин частот колебаний f и

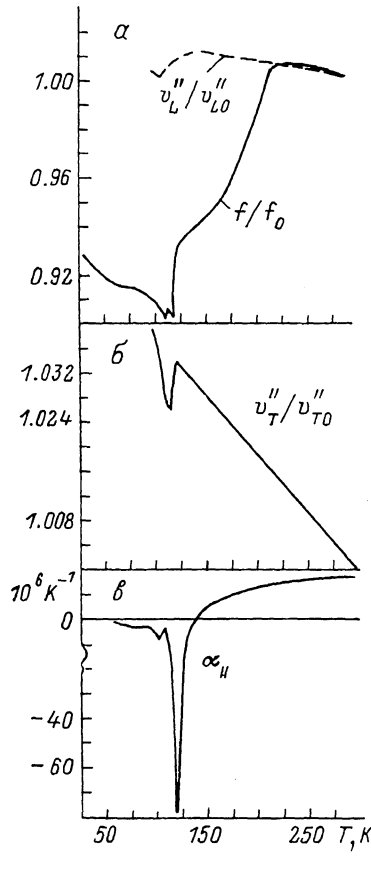


Рис. 1. Температурные зависимости относительных изменений величин f , v_L'' , v_T'' и α_{\parallel} для кристалла TlGaSe₂.

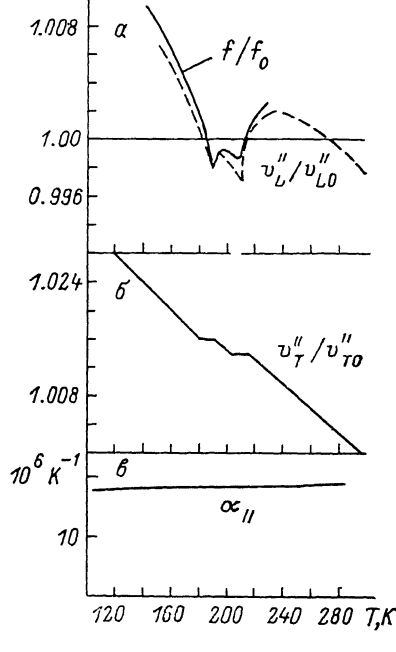


Рис. 2. То же для кристалла TlInS₂.

соответствующие $E_{\text{эфф}}$ определяются с большой погрешностью при использовании указанной методики (до 50 %). Значения же относительных изменений частот (например, с температурой) определяются значительно точнее (\sim долей %).

На рис. 1, 2 приведены зависимости от температуры относительных величин резонансных частот изгибных колебаний кристаллов TlInS₂ и TlGaSe₂ f/f_0 , где f_0 — значение резонансной частоты при комнатной температуре. Видно, что поведение f/f_0 в TlInS₂ и TlGaSe₂ существенно различно. В TlGaSe₂ f/f_0 мало изменяется при понижении температуры до 200 К. Ниже 200 К f/f_0 в TlGaSe₂ сильно уменьшается с понижением температуры вплоть до температур 114 и 102 К, соответствующих температурам перехода в несоразмерную и соразмерную фазу соответственно. Ниже 100 К f/f_0 в TlGaSe₂ растет с понижением температуры.

Изменения f/f_0 в TIInS_2 с понижением температуры значительно менее существенны, чем в TlGaSe_2 . Так и в TlGaSe_2 , при температурах перехода в несоразмерную (210 К) и соразмерную (195 К) фазы в температурной зависимости f/f_0 в TIInS_2 наблюдаются аномалии (рис. 2, a).

На рис. 1, a; 2, a для сравнения приведены температурные зависимости относительного изменения скоростей продольных УЗ волн v_L^{\parallel} , распространяющихся в плоскости слоев TIInS_2 и TlGaSe_2 . Указанная зависимость в TIInS_2 практически совпадает с зависимостью от температуры f/f_0 . В TlGaSe_2 наблюдается существенная разница в поведении $v_L^{\parallel}/v_{L0}^{\parallel}$ и f/f_0 (рис. 1, a).

Согласно известным соотношениям теории упругости [11], резонансные частоты изгибных колебаний тонких прямоугольных пластин, жестко закрепленных на одном конце, могут быть определены из выражения

$$f_n = \frac{K_n^2 h}{2\pi l^2} \sqrt{\frac{1}{12\rho} E_{\text{эфф}}}, \quad (1)$$

где h — толщина пластинки; l — ее длина; $K_n = 1.875, 4.694, \dots$ — постоянная, соответствующая различным гармоникам $n=1, 2, \dots$; ρ — плотность.

В выбранной нами геометрии измерений и в предположении о квазигексагональности кристаллов $E_{\text{эфф}} = C_{11} - C_{13}^2/C_{33}$. Упругие константы C_{11} и C_{33} в TIInS_2 и TlGaSe_2 (см. таблицу; обозначения стандартные, оси X и Y лежат в плоскости слоев, ось Z перпендикулярна слоям) определены, как уже подчеркивалось, в работе [8] из УЗ экспериментов.

Упругие постоянные TIInS_2 и TlGaSe_2 при 300 К
(10^{11} дин/см 2)

	C_{11}	C_{66}	C_{33}	C_{44}
TIInS_2	4.49	0.72	3.99	0.3
TlGaSe_2	6.42	1.27	4.37	0.5

Определение C_{13} УЗ методами встречаются с серьезными трудностями, поэтому ее значение во многих кристаллах определяется с большой погрешностью. В слоистых кристаллах к обычным трудностям прибавляются еще и технологические, обусловленные необходимостью приготовления образца с определенным образом ориентированными гранями, расположеннымими под углом к слоям.

Определенную информацию о поведении C_{13} в TIInS_2 и TlGaSe_2 можно получить, анализируя $E_{\text{эфф}}(T)$. Поскольку в TIInS_2 зависимости $E_{\text{эфф}}(T)$ и $C_{11}(T)$ совпадают, можно сделать вывод о незначительном вкладе изменения C_{13}^2/C_{33} в изменение $E_{\text{эфф}}(T)$ в этом кристалле.

Как следует из рис. 1, a, сильное уменьшение $E_{\text{эфф}}$ с понижением температуры в TlGaSe_2 можно объяснить лишь существенным вкладом (ростом) C_{13}^2/C_{33} . С учетом известных температурных зависимостей C_{11} и C_{33} в TlGaSe_2 следует вывод о существенном значении температурной зависимости упругой постоянной C_{13} в этом кристалле.

Такой вывод необычен для слоистых кристаллов, поскольку оказывается, что в них $C_{13}^2/C_{33} \ll C_{11}$ и «межслоевые» упругие постоянные C_{13} и C_{33} слабо влияют на величину «внутрислоевого» модуля Юнга [12].

Вывод о важной роли упругой константы C_{13} в упругих свойствах TlGaSe_2 может объяснить и наблюдающееся в этом кристалле необычное поведение скорости поперечной волны v_T^{\perp} (рис. 1, б). Действительно, как видно из рис. 1, a, б, поведение v_T^{\perp} в TlGaSe_2 коррелирует с соответствующим поведением модуля Юнга — вблизи фазового перехода v_T^{\perp} существенно умень-

шается с понижением температуры. Такую корреляцию легко объяснить, предполагая квазигексагональность структуры исследуемых кристаллов.

Согласно критериям устойчивости [13], в этом случае должны выполняться следующие неравенства, включающие упругие постоянные:

$$C_{44} > 0, \quad C_{11} > |C_{12}|, \quad (C_{11} + C_{12})C_{33} > 2C_{13}^2. \quad (2)$$

Последнее условие с учетом $C_{66} = (C_{11} - C_{12})/2$ приводится к виду

$$C_{66} < C_{11} - \frac{C_{13}^2}{C_{33}}. \quad (3)$$

Таким образом, температурное поведение C_{66} и v_T^3 в гексагональном кристалле должно коррелировать с соответствующим поведением $E_{\text{эфф}}$. В таком случае становятся понятным и различия в температурных зависимостях C_{66} в TlInS_2 и TlGaSe_2 , обусловленные различным поведением $E_{\text{эфф}}$ в этих кристаллах.

Предположение о квазигексагональности кристаллов TlInS_2 и TlGaSe_2 , безусловно, нуждается в дополнительном экспериментальном обосновании. Тем не менее имеющиеся исследования, которые не обнаруживают анизотропии физических свойств в плоскости слоев [14], не противоречат такому предположению.

Наконец, учет важной роли C_{13} может объяснить наличие отрицательного теплового расширения в плоскости слоев TlGaSe_2 (рис. 1, *в*). В самом деле, сильное расширение в направлении, перпендикулярном слоям, характерное для слоистых кристаллов (в TlGaSe_2 вблизи ФП $\alpha_1 \sim 10^4$ град $^{-1}$), может при существенной роли C_{13} привести к боковому «пуассонову» сжатию в плоскости слоев.

Список литературы

- [1] Müller D., Hahn H. // Z. anorg. allg. Chem. 1978. V. 438. P. 258–272.
- [2] Henkel W., Hochheimer H. D., Carloni C., Werner A., Ves S., Schnering H. G. // Phys. Rev. B. 1982. V. 26. N 6. P. 3211–3221.
- [3] Волков А. А., Гончаров Ю. Г., Козлов Г. В., Лебедев С. П., Прохоров А. М., Алиев Р. А., Аллахвердиев К. Р. // Письма в ЖЭТФ. 1983. Т. 37. № 11. С. 517–520.
- [4] McMorrow D. F., Cowley R. A., Hatton P. O., Banys J. // J. Phys.: Condens Matter. 1990. V. 2. P. 3699–3712.
- [5] Вахрушев С. Б., Жданова В. В., Квятковский Б. Е., Окупева Н. М., Аллахвердиев К. Р., Алиев Р. А., Сардарлы Р. М. // Письма в ЖЭТФ. 1984. Т. 39. № 6. С. 245–247.
- [6] Абдуллаев Н. А., Аллахвердиев К. Р., Беленький Г. Л., Мамедов Т. Г., Сулейманов Р. А., Шарифов Я. Н. // ДАН АзССР. Т. 41. № 12. С. 21–23.
- [7] Abdullaev N. A., Alakhverdiyev K. R., Belen'kii G. L., Mamedov T. G., Suleimannov R. A., Sharifov Ya. N. // Sol. St. Comm. 1985. V. 53. N 7. P. 601–602.
- [8] Аллахвердиев К. Р., Илисавский Ю. В., Мамедов Т. Г., Нейманзаде И. К., Стернин В. М., Сулейманов Р. А., Сейдов М. Ю. // Препринт № 282. Баку, ИФАН АзССР, 1988. 24 с.
- [9] Нейманзаде И. К., Сулейманов Р. А., Сейдов М. Ю., Илисавский Ю. В., Стернин В. М. // Препринт № 275. Баку, ИФАН АзССР, 1988. 22 с.
- [10] Barmatz M., Testardi L. R., Di Salvo F. J. // Phys. Rev. B. 1975. V. 12. N 10. P. 4367–4376.
- [11] Ландау Л. Д., Лифшиц Е. М. Теория упругости. М., 1987. 246 с.
- [12] Беленький Г. Л., Салаев Э. Ю., Сулейманов Р. А. // УФН. 1988. Т. 155. № 1. С. 87–127.
- [13] Борн М., Кунь Х. Динамическая теория кристаллических решеток. М., 1958. 488 с.
- [14] Волков А. А., Гончаров Ю. Г., Козлов Г. В., Торташев В. И., Широков В. Б. // ФТТ. 1988. Т. 30. № 12. С. 3621–3628.